

- [4] Alimpiev S.S., Artjushenko V.G., Butvina L.N., et al. // International J. of Optoelectronik. 1988. V. 3. N 4. P. 333-344.
- [5] Levy M.B., Laakmann K.D. // Proc. SPIE. 1986. V. 605. P. 57-58.

Институт общей  
физики АН СССР,  
Москва

Поступило в Редакцию  
14 июня 1988 г.  
В окончательной редакции  
3 июля 1989 г.

Письма в ЖТФ, том 15, вып. 21

12 ноября 1989 г.

06.3; 07; 12

ДИНАМИЧЕСКАЯ ФИЛЬТРАЦИЯ ПРОСТРАНСТВЕННЫХ  
ЧАСТОТ С ПОМОЩЬЮ ЛАЗЕРНЫХ УКИ  
В ПОЛУПРОВОДНИКОВЫХ ПЛАНАРНЫХ ВОЛНОВОДАХ

А.И. Завалин, В.Ф. Ламекин,  
В.Л. Смирнов

Исследования методов фильтрации пространственных частот (ПЧ) в волноводных структурах, в том числе согласованной голограммической фильтрации, показали их перспективность для решения задач распознавания образов [1-2], улучшения качества и преобразования передаваемых изображений [3-4]. С возрастанием потока информации, подлежащей обработке с помощью управляемых адаптивных устройств в реальном масштабе времени, возникает необходимость использования ультракоротких лазерных импульсов (УКИ) и малоинерционных перестраиваемых фильтров.

В настоящей работе представлены результаты исследования динамических волноводных голограмм и возможности проведения голограммической согласованной фильтрации, а также исследования динамических амплитудных фильтров и возможности проведения фильтрации выборочных ПЧ на основе неравновесных носителей заряда (ННЗ), индуцированных лазерными УКИ в полупроводниковых планарных волноводах на основе соединений  $\text{Al}_{\text{III}}\text{B}_\text{V}$ .

Голограммы формировались по схеме Фурье-Фраунгофера внешними УКИ, интерферирующими в плоскости планарного волновода. Считывание производилось УКИ, распространяющимися по волноводу. Для проведения согласованной голограммической фильтрации или амплитудной фильтрации отдельных ПЧ в области записанной голограммы или амплитудного фильтра формировался Фурье-спектр изображения, передаваемого по волноводу [1, 4]. Причем во втором случае фильтр ПЧ формировался одним УКИ, а необходимое распределение интенсивности создавалось с помощью цилиндрической линзы и щелевой диафрагмы. Для записи и считывания использовались

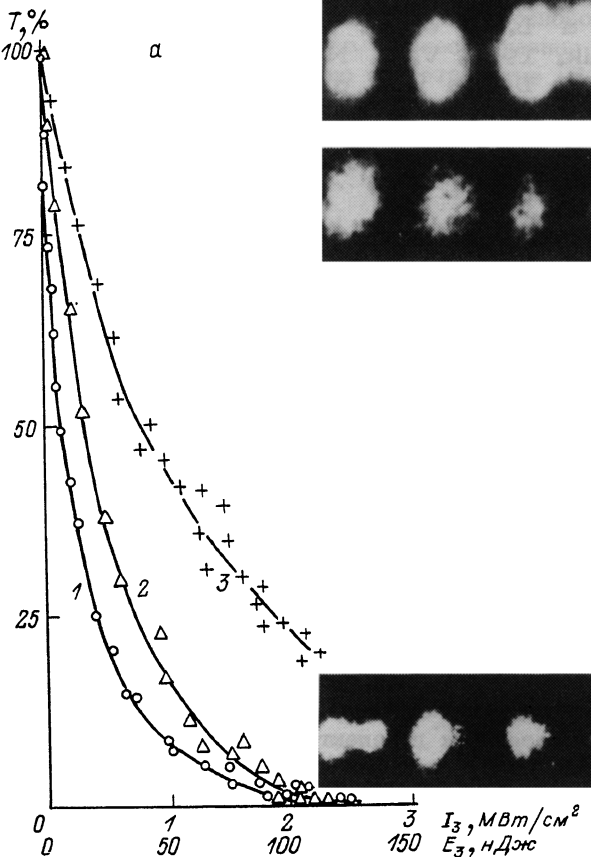


Рис. 1.

соответственно вторая гармоника ( $\lambda_3 = 0.54 \text{ мкм}$ ) и основное излучение ( $\lambda_c = 1.08 \text{ мкм}$ ) неодимового лазера с длительностью УКИ  $\tau_u = 20 \text{ пс}$ . В эксперименте применялись волноводные эпитаксиальные пленки состава  $GaAs_xP_{1-x}$  ( $x = 0.03 - 0.3$ ) на подложке  $GaP$ . В общем случае распределение ННЗ по толщине волновода с течением времени будет носить сложный характер, определяемый величиной коэффициента поглощения полупроводника, скоростями поверхностной и объемной рекомбинации ННЗ, диффузии и т.д., так что эффективность взаимодействия считывающего УКИ со сформированным фильтром будет определяться интегралом перекрытия поля волноводной моды и функции распределения ННЗ по толщине волновода. Однако, поскольку коэффициент поглощения записывающего УКИ  $\alpha_3 = 50 - 300 \text{ см}^{-1}$  (при  $x = 0.03 - 0.3$ ), а волноводный слой имеет

толщину 7–3 мкм соответственно, то на толщине волноводного слоя поглощается 3.5–10 % энергии записывающего УКИ, а также слой, захватываемый поверхностной рекомбинацией, занимает значительную часть волноводного слоя [5]. Потери энергии волноводной моды в отсутствие фильтра на длине волны  $\lambda_c = 1.08$  мкм составили 1–1.5 дБ/см (для  $TE_1$ -моды). Все это позволяет считать распределение ННЗ однородным по толщине волноводного слоя и просто определить интенсивность  $I(y, z)$  волноводного излучения после амплитудной фильтрации:  $I(y, z) = I_o e^{-\alpha_c(y)z}$ , где  $I_o(y)$  – распределение интенсивности волноводного излучения вдоль Фурье-плоскости в отсутствие фильтра,  $\alpha_c(y)$  – коэффициент поглощения волноводного излучения на ННЗ,  $z$  – длина фильтра вдоль направления распространения волноводного излучения. В соответствии с [6]  $\alpha_c(y) = \sigma N(y)$ , где  $N(y)$  – распределение ННЗ вдоль Фурье-плоскости,  $\sigma$  – суммарное сечение поглощения на электронах и дырках. Для используемого материала волноводного слоя  $\sigma = 1.8 \cdot 10^{-17} \text{ см}^2$  [6]. В случае реально достижимых величин  $N \sim 10^{18} - 10^{19} \text{ см}^{-3}$ , получаемых с помощью УКИ, коэффициент поглощения  $\alpha_c \sim 10 - 100 \text{ см}^{-1}$  и длина амплитудного фильтра для подавления ПЧ в  $e$  раз должна составлять  $z \sim 0.1 - 1$  мм. Экспериментальные зависимости коэффициента пропускания  $T$  амплитудного фильтра нулевой ПЧ, записанного в волноводном слое состава  $GaAs_{0.3}P_{0.7}$ , от мощности  $I_3$  и энергии  $E_3$  записывающего УКИ, поглощенной в волноводе, представлены на рис. 1, а. Фильтр записывался с помощью цилиндрической линзы с  $F_3 = 100$  мм и щелевой диафрагмы для регулирования величины  $z$ , которая составила для кривых 1–3 величину 500 мкм. Кривые 1–3 соответствуют задержке  $\tau_3$  момента прохождения передающего УКИ через фильтр относительно момента записи фильтра  $\tau_3 = 100, 300, 500$  пс соответственно. Из кривой 1, считая, что рекомбинировало незначительное количество ННЗ, по формулам 1–2 можно рассчитать  $\sigma = 1.87 \cdot 10^{-17} \text{ см}^2$ , совпадающее со значением, полученным в работе [6] в пределах ошибки эксперимента 10 %. На рис. 1 (б–г) показаны снимки с экрана ЭОП переданного изображения фрагмента штриховой миры с частотой штрихов  $v_c = 11 \text{ мм}^{-1}$  при пропускании фильтра  $T = 100, 80, 10$  % соответственно. Видно, что фильтр позволяет устраниТЬ шумовую засветку и выделить информацию о краях штрихов транспаранта, элементах с наибольшим градиентом пропускания. Аналогично может быть отфильтрована произвольная ПЧ, причем для приборной реализации данного фильтра возможна подача записывающего УКИ к поверхности волновода по волоконным световодам. В этом случае могут использоваться несколько записывающих УКИ, подаваемых от независимых источников.

Для записи голограммических согласованных фильтров использовались волноводы состава  $GaAs_{0.03}P_{0.97}$ , позволяющие уменьшить паразитное рассеяниечитывающего УКИ и использовать в основном фазовую запись с вкладом амплитудной около 10 %. На рис. 2, а показана зависимость дифракционной эффективности голограммы  $Z/Z_{max}$  от времени задержки считывания  $\tau_3$  относительно момента

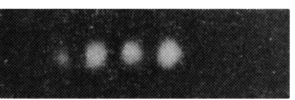
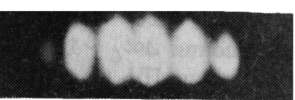
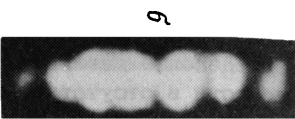
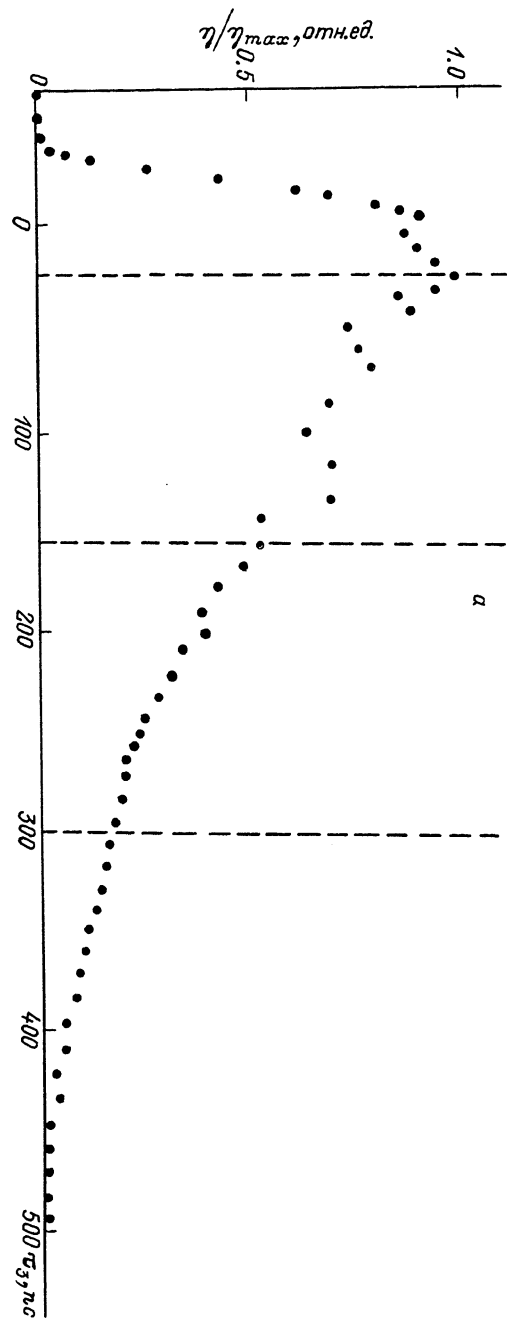


Рис. 2.

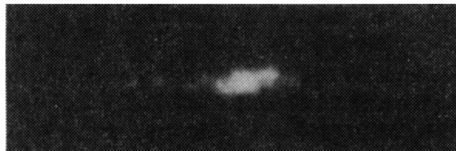


Рис. 3.

записи голограммы при восстановлении параллельным пучком, ориентированным под углом Брэгга. Видно, что время хранения записанной информации (на уровне 1/2) составляет  $170 \pm 20$  пс. При интенсивности записывающих УКИ  $I_3 = 32$  МВт/см<sup>2</sup> и длине голограммы вдоль направления распространения считывающего УКИ равной 3 мм максимальная дифракционная эффективность  $\eta_{max}$  составила  $28 \pm 3$  %. На рис. 2 (б-г) показаны снимки восстановленного изображения штриховой меры с частотой штрихов  $\nu_3 = 22$  мм<sup>-1</sup> при  $\tau_3 = 40, 150, 300$  пс, показывающие, что с течением времени не происходит размывания части изображения вследствие процессов диффузии.

Поскольку фокусные расстояния для записывающего и считывающего УКИ  $F_3 = F_c = 100$  мм, а длины волн отличаются:  $\frac{\lambda_3}{\lambda_c} =$

= 1/2, то максимальный сигнал корреляции будет получен при

$\frac{\nu_3}{\nu_c} = 2$  [7]. На рис. 3 показан снимок корреляционного сигнала при  $\nu_3 = 22$  мм<sup>-1</sup>,  $\nu_c = 11$  мм<sup>-1</sup> и  $\tau_3 = 0$ . Дифракционная эффективность согласованного фильтра составила около 3 %. При рассстройке  $\nu_c$  на величину  $\pm 1$  мм<sup>-1</sup> сигнал корреляции не наблюдался. Следует отметить, что в данном случае эффективная длина голограммы существенно уменьшается ввиду непараллельности фокальных плоскостей  $F_3$  и  $F_c$ , и определяется перекрытием соответствующих перетяжек считывающего и записывающего пучков. Для увеличения избирательной способности фильтра его элементы формировались параллельно фокальной плоскости  $F_c$  с помощью вращающейся щелевой диафрагмы, и эффективная длина фильтра составила около 500 мкм. Дифракционную эффективность и избирательность фильтра можно существенно увеличить при записи динамических голограмм с помощью УКИ, распространяющихся в волноводе с переменным составом, что является предметом дальнейших исследований.

Таким образом, в данной работе показана возможность записи динамических пикосекундных голограмм одномерных изображений в полупроводниковых планарных волноводах с плотностью записи около 300 бит/мм, голографической согласованной фильтрации с избирательностью  $\pm 1$  мм<sup>-1</sup> и отношением сигнал/шум около 20 дБ. Также показана возможность амплитудной фильтрации произвольной ПЧ с эффективностью вплоть до 100 %. С помощью таких фильтров может быть обработан поток информации около  $10^3$  Гбит/с.

## Список литературы

- [1] Быковский Ю.А., Казакевич А.В., Ламекин В.Ф., Миронов А.В., Смирнов В.Л. // Письма в ЖТФ. 1987. Т. 13. В. 7. С. 414-418.
- [2] Баблумян А.С., Морозов В.Н., Путин А.Н., Шермергор Т.Д. // Труды ФИАН. 1987. Т. 185. С. 164-190.
- [3] Быковский Ю.А., Кульчин Ю.Н., Смирнов В.Л. // Оптика и спектроскопия. 1982. Т. 52. № 6. С. 1060-1062.
- [4] Завалин А.И., Кульчин Ю.Н., Миронов А.В., Смирнов В.Л. Авт. свидетельство № 1182467, Бюлл. изобр. № 36 от 30.09.85.
- [5] Завалин А.И., Караванский В.А., Ламекин В.Ф., Николаев И.В., Смирнов В.Л. // Квантовая электроника. 1988. Т. 15. № 7. С. 1326-1328.
- [6] Lun T.M., Chen Y.C., Newhighe M. // Appl. Phys. Lett. 1987. V. 50. N 15. P. 947-949.
- [7] Коллер Р., Беркхарт К., Лин Л. Оптическая голограммия. М.: Мир, 1973. 686 с.

Поступило в Редакцию  
26 октября 1988 г.

В окончательной редакции  
16 января 1989 г.